



Низкие динамические потери
Малый заряд обратного
восстановления
Высокая стойкость к
электротермоциклированию

Быстровосстанавливающийся Диод Тип ДЧ123-320-12

Средний прямой ток	I_{FAV}	320 А		
Повторяющееся импульсное обратное напряжение	U_{RRM}	1000...1200 В		
Время обратного восстановления	t_{rr}	3.20, 4.00, 5.00, 6.30 мкс		
U_{RRM} , В	1000	1100	1200	
Класс по напряжению	10	11	12	
T_j , °C	-60...+150			

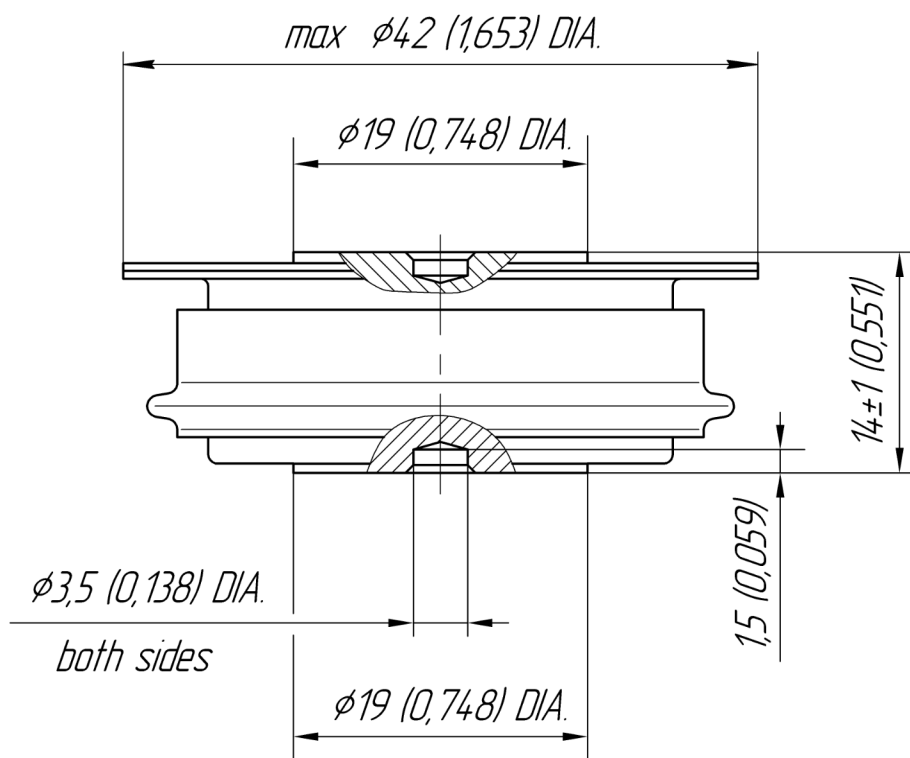
ПРЕДЕЛЬНО ДОПУСТИМЫЕ ЗНАЧЕНИЯ ПАРАМЕТРОВ

Обозначение и наименование параметра		Ед. изм.	Значение	Условия измерения	
Параметры в проводящем состоянии					
I_{FAV}	Максимально допустимый средний прямой ток	А	320 678	$T_c=116$ °C; двухстороннее охлаждение; $T_c=55$ °C; двухстороннее охлаждение; 180 эл. град. синус; 50 Гц	
I_{FRMS}	Действующий прямой ток	А	502	$T_c=116$ °C; двухстороннее охлаждение; 180 эл. град. синус; 50 Гц	
I_{FSM}	Ударный ток	кА	6.0 7.0	$T_j=T_{j\max}$ $T_j=25$ °C	180 эл. град. синус; $t_p=10$ мс; единичный импульс; $U_R=0$ В;
			6.5 7.5	$T_j=T_{j\max}$ $T_j=25$ °C	180 эл. град. синус; $t_p=8.3$ мс; единичный импульс; $U_R=0$ В;
I^2t	Защитный показатель	A^2c10^3	180 240	$T_j=T_{j\max}$ $T_j=25$ °C	180 эл. град. синус; $t_p=10$ мс; единичный импульс; $U_R=0$ В;
			170 230	$T_j=T_{j\max}$ $T_j=25$ °C	180 эл. град. синус; $t_p=8.3$ мс; единичный импульс; $U_R=0$ В;
Блокирующие параметры					
U_{RRM}	Повторяющееся импульсное обратное напряжение	В	1000...1200	$T_{j\min} < T_j < T_{j\max}$; 180 эл. град. синус; 50 Гц	
U_{RSM}	Неповторяющееся импульсное обратное напряжение	В	1100...1300	$T_{j\min} < T_j < T_{j\max}$; 180 эл. град. синус; единичный импульс	
U_R	Постоянное обратное напряжение	В	$0.6 \cdot U_{RRM}$	$T_j = T_{j\max}$;	
Тепловые параметры					
T_{stg}	Температура хранения	°C	-60...+55		
T_j	Температура р-п перехода	°C	-60...+150		
Механические параметры					
F	Монтажное усилие	кН	5.0...7.0		
a	Ускорение	м/с ²	50	В зажатом состоянии	

ХАРАКТЕРИСТИКИ

Обозначение и наименование характеристики		Ед. изм.	Значение	Условия измерения	
Характеристики в проводящем состоянии					
U_{FM}	Импульсное прямое напряжение, макс	В	1.70	$T_j=25\text{ }^\circ\text{C}; I_{FM}=1005\text{ A}$	
$U_{F(TO)}$	Пороговое напряжение, макс	В	1.014	$T_j=T_{j\text{ max}};$ $0.5\pi I_{FAV} < I_T < 1.5\pi I_{FAV}$	
r_T	Динамическое сопротивление, макс	МОм	0.593		
Блокирующие характеристики					
I_{RRM}	Повторяющийся импульсный обратный ток, макс	мА	40	$T_j=T_{j\text{ max}};$ $U_R=U_{RRM}$	
Динамические характеристики					
Q_r	Заряд восстановления, макс	мкКл	300	$T_j=T_{j\text{ max}}; I_{FM}=I_{FAV};$ $di_R/dt=-100\text{ A/мкс};$ $U_R=100\text{ В}$	
t_{rr}	Время обратного восстановления ¹⁾ , макс	мкс	3.20, 4.00, 5.00, 6.30		
I_{rr}	Обратный ток восстановления, макс	А	185		
Тепловые характеристики					
R_{thjc}	Тепловое сопротивление р-п переход-корпус, макс	$^\circ\text{C/Вт}$	0.0700	Постоянный ток	Двухстороннее охлаждение
R_{thjc-A}			0.1540		Охлаждение со стороны анода
R_{thjc-K}			0.1260		Охлаждение со стороны катода
R_{thck}	Тепловое сопротивление корпус-охладитель, макс	$^\circ\text{C/Вт}$	0.0100	Постоянный ток	
Механические характеристики					
m	Масса, макс	г	60		
D_s	Длина пути тока утечки по поверхности	мм (дюйм)	11.74 (0.462)		
D_a	Длина пути тока утечки по воздуху	мм (дюйм)	11.60 (0.457)		

МАРКИРОВКА						ПРИМЕЧАНИЕ				
ДЧ	123	320	12	К4	УХЛ2	1) Время обратного восстановления				
1	2	3	4	5	6	Обозначение группы	К4	Н4	Е4	С4
1. ДЧ — Быстровосстанавливающийся диод						t_{rr} , мкс	3.20	4.00	5.00	6.30
2. Конструктивное исполнение										
3. Средний прямой ток, А										
4. Класс по напряжению										
5. Группа по времени обратного восстановления										
6. Климатическое исполнение по ГОСТ 15150: УХЛ2, Т2										



Все размеры в миллиметрах (дюймах)

Содержащаяся здесь информация является конфиденциальной и находится под защитой авторских прав. В интересах улучшения качества продукции, АО «Протон-Электротекс» оставляет за собой право изменять информационные листы без уведомления.

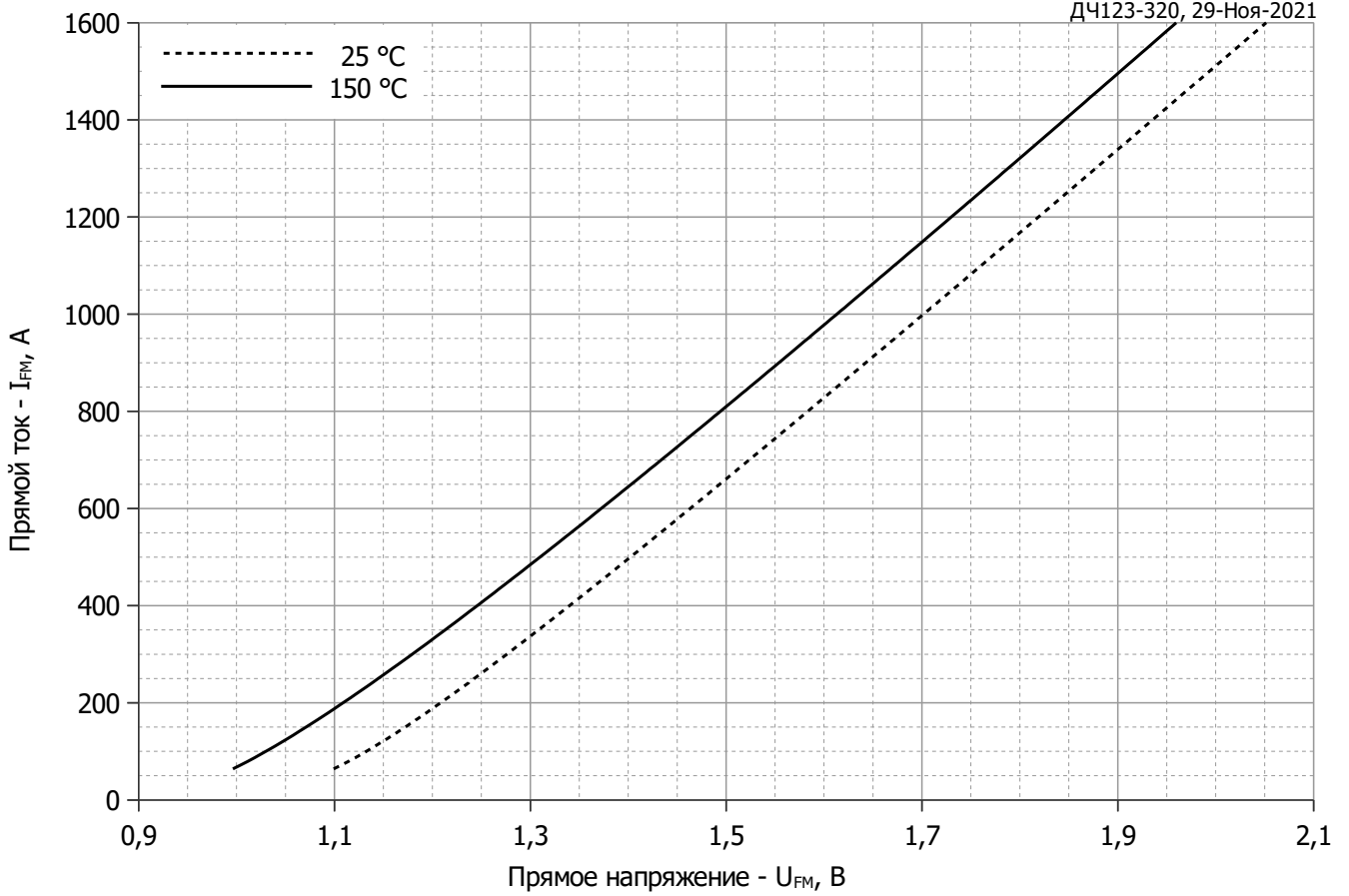


Рис. 1 – Предельная вольт–амперная характеристика

Аналитическая функция предельной вольт — амперной характеристики:

$$U_F = A + B \cdot i_F + C \cdot \ln(i_F + 1) + D \cdot \sqrt{i_F}$$

	Коэффициенты для графика	
	T _j = 25°C	T _j = T _{j max}
A	0.93294692	0.86430483
B	0.00056889	0.00050627
C	0.03268454	0.01573579
D	-0.00082045	0.00423141

Модель предельной вольт – амперной характеристики (см. Рис. 1).

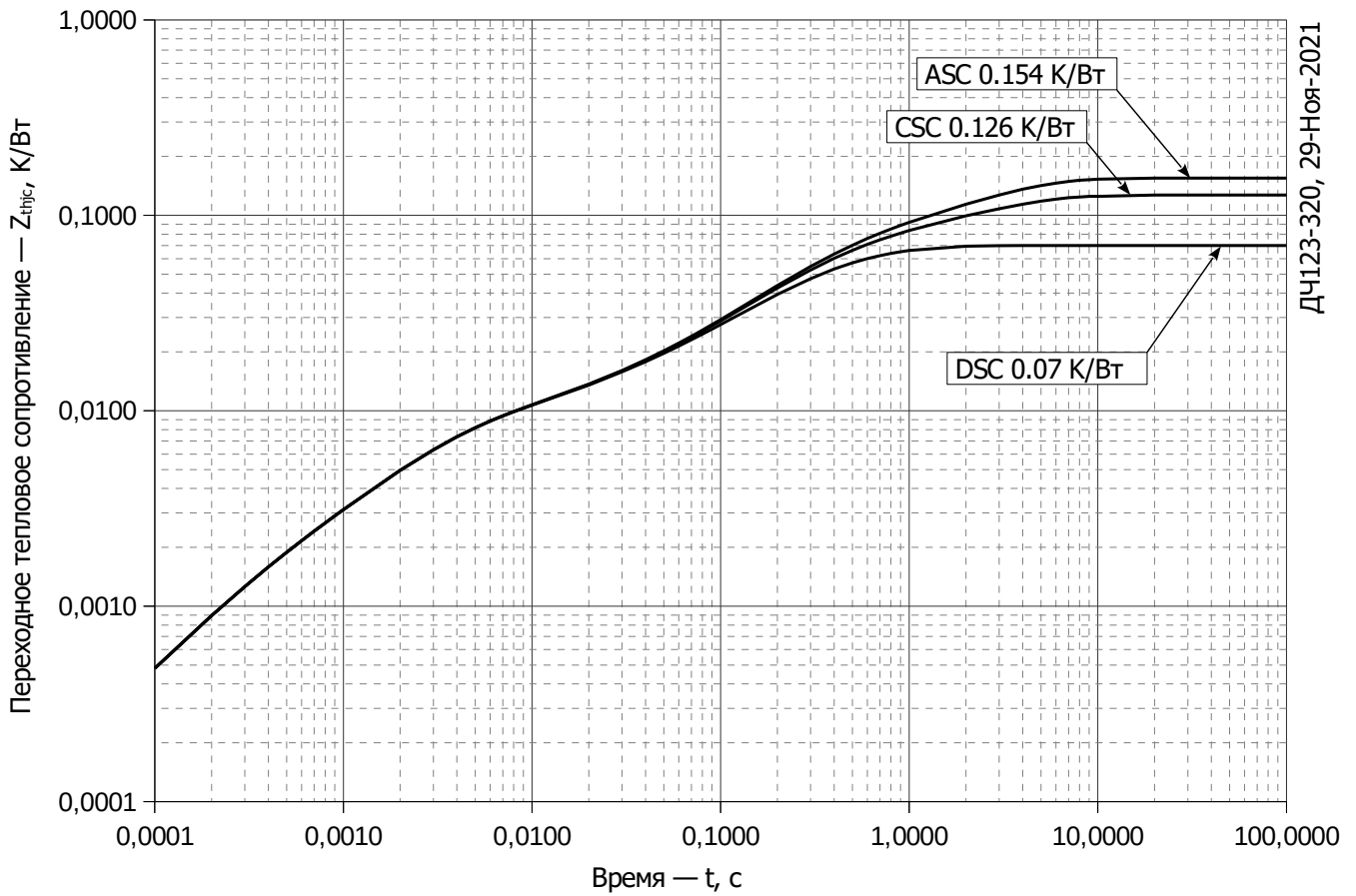


Рис. 2 – Зависимость переходного теплового сопротивления Z_{thjc} от времени t

Аналитическая зависимость переходного теплового сопротивления переход — корпус:

$$Z_{thjc} = \sum_{i=1}^n R_i \left(1 - e^{-\frac{t}{\tau_i}} \right)$$

Где $i = 1$ до n , n – число суммирующихся элементов.

t = продолжительность импульсного нагрева в секундах.

Z_{thjc} = Тепловое сопротивление за время t .

R_i, τ_i = расчетные коэффициенты, приведенные в таблице.

Постоянный ток, двустороннее охлаждение

i	1	2	3	4	5	6
$R_i, K/W$	0.03233	0.02226	0.005231	0.002739	0.006738	0.0006988
τ_i, s	0.2392	0.533	0.1478	0.01499	0.002749	0.0002969

Постоянный ток, охлаждение со стороны анода

i	1	2	3	4	5	6
$R_i, K/W$	0.08459	0.02327	0.002598	0.006598	0.0006736	0.03694
τ_i, s	2.653	0.5669	0.01311	0.00269	0.0002871	0.2416

Постоянный ток, охлаждение со стороны катода

i	1	2	3	4	5	6
$R_i, K/W$	0.05654	0.03706	0.002638	0.006637	0.0006786	0.02303
τ_i, s	2.653	0.2338	0.01361	0.002704	0.000289	0.5476

Модель переходного теплового сопротивления переход - корпус (см. Рис. 2)

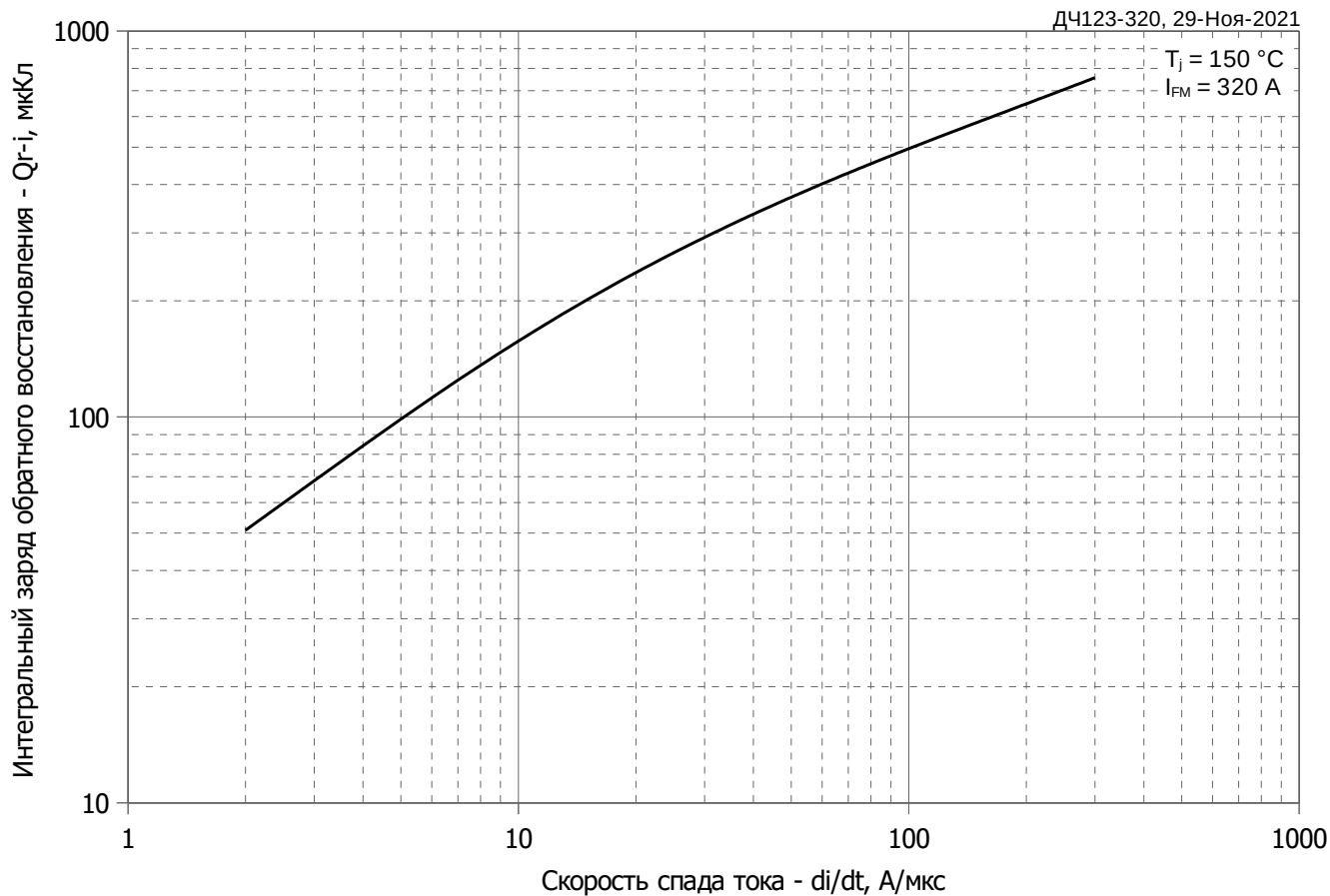


Рис. 3 – Зависимость заряда обратного восстановления Q_{r-i} (интегральный) от скорости спада прямого тока di_R/dt

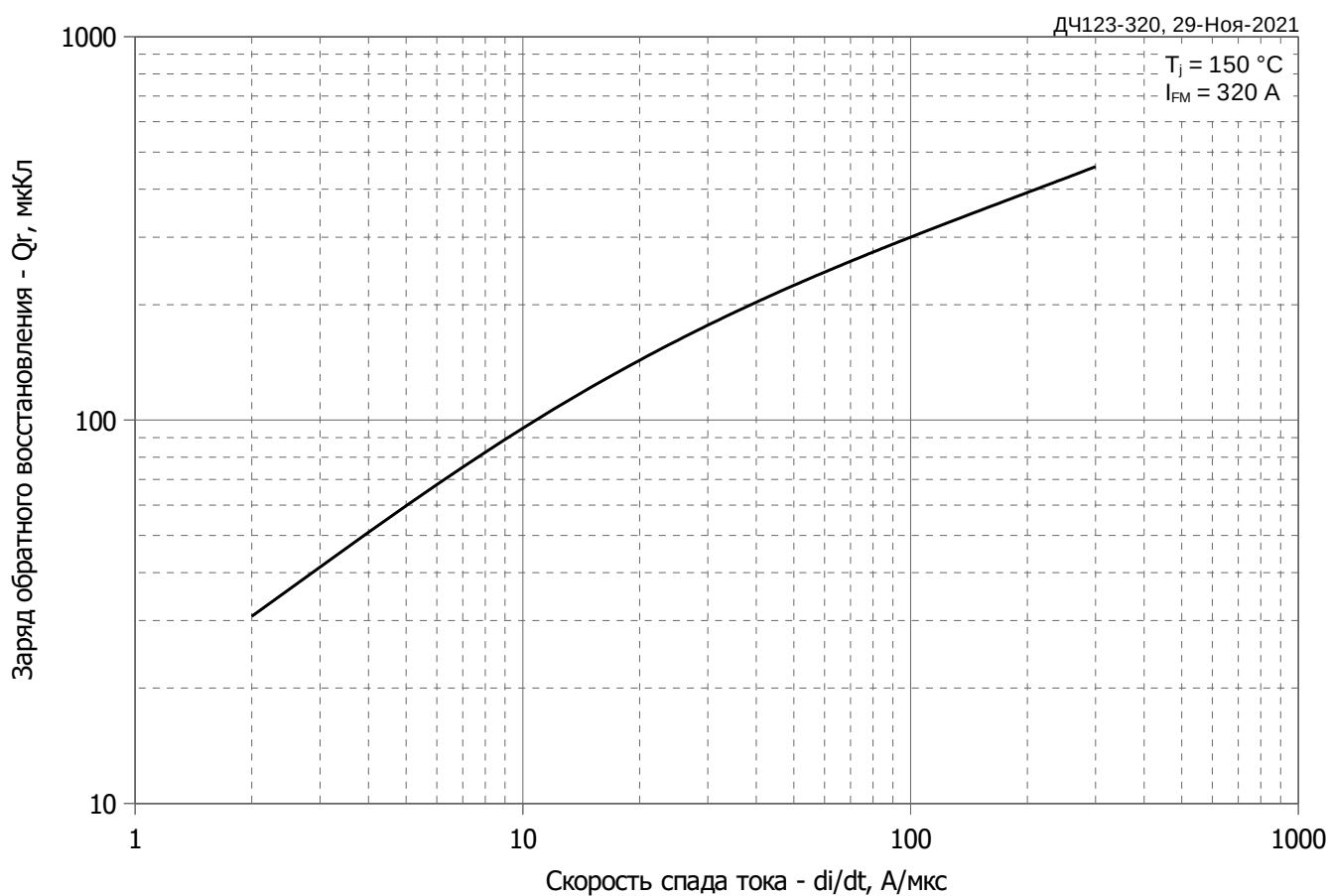


Рис. 4 – Зависимость максимального заряда обратного восстановления Q_r от скорости спада прямого тока di_R/dt (по ГОСТ 24461, хорда 50%)

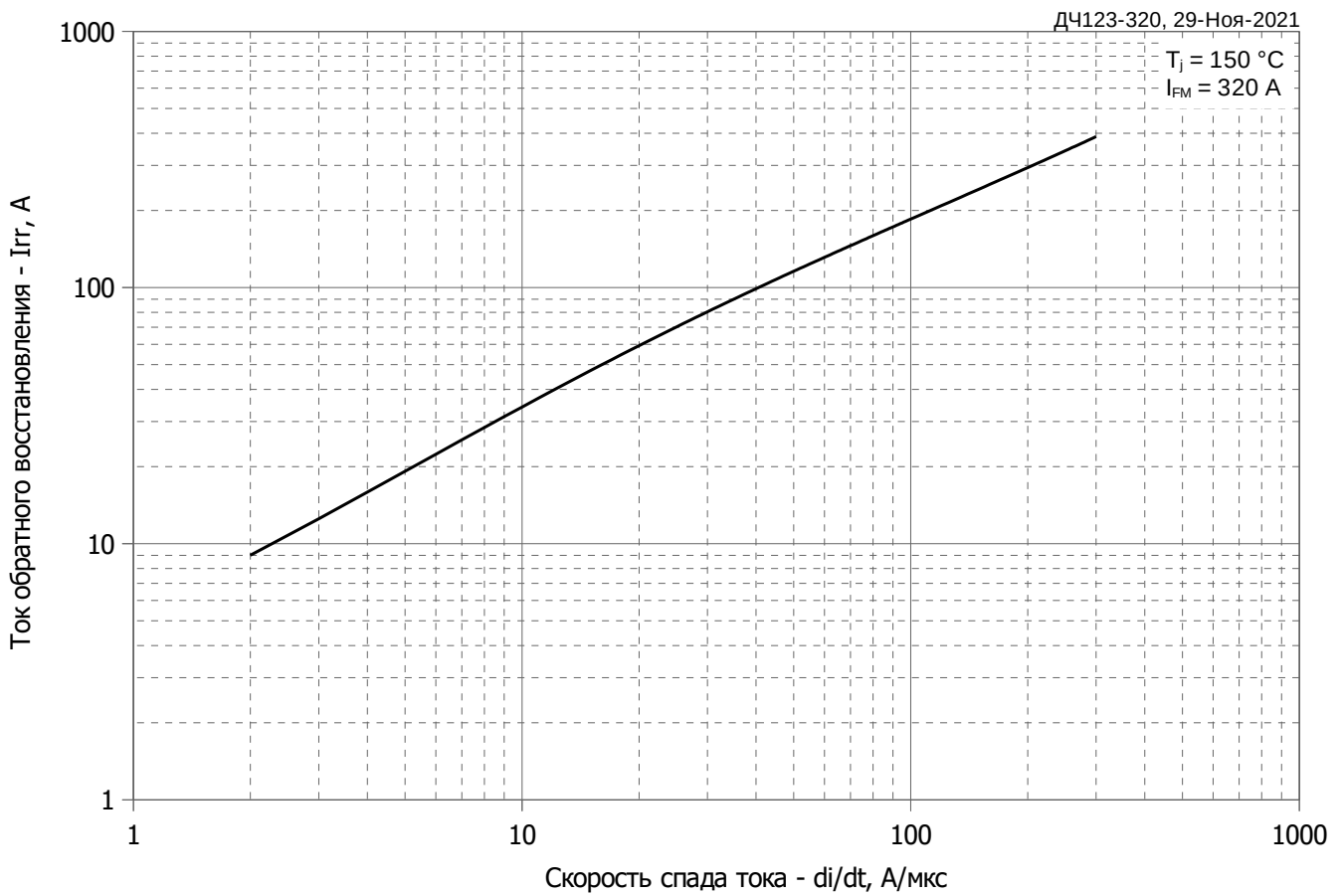


Рис. 5 – Зависимость максимального тока обратного восстановления I_{rr} от скорости спада прямого тока di_R/dt

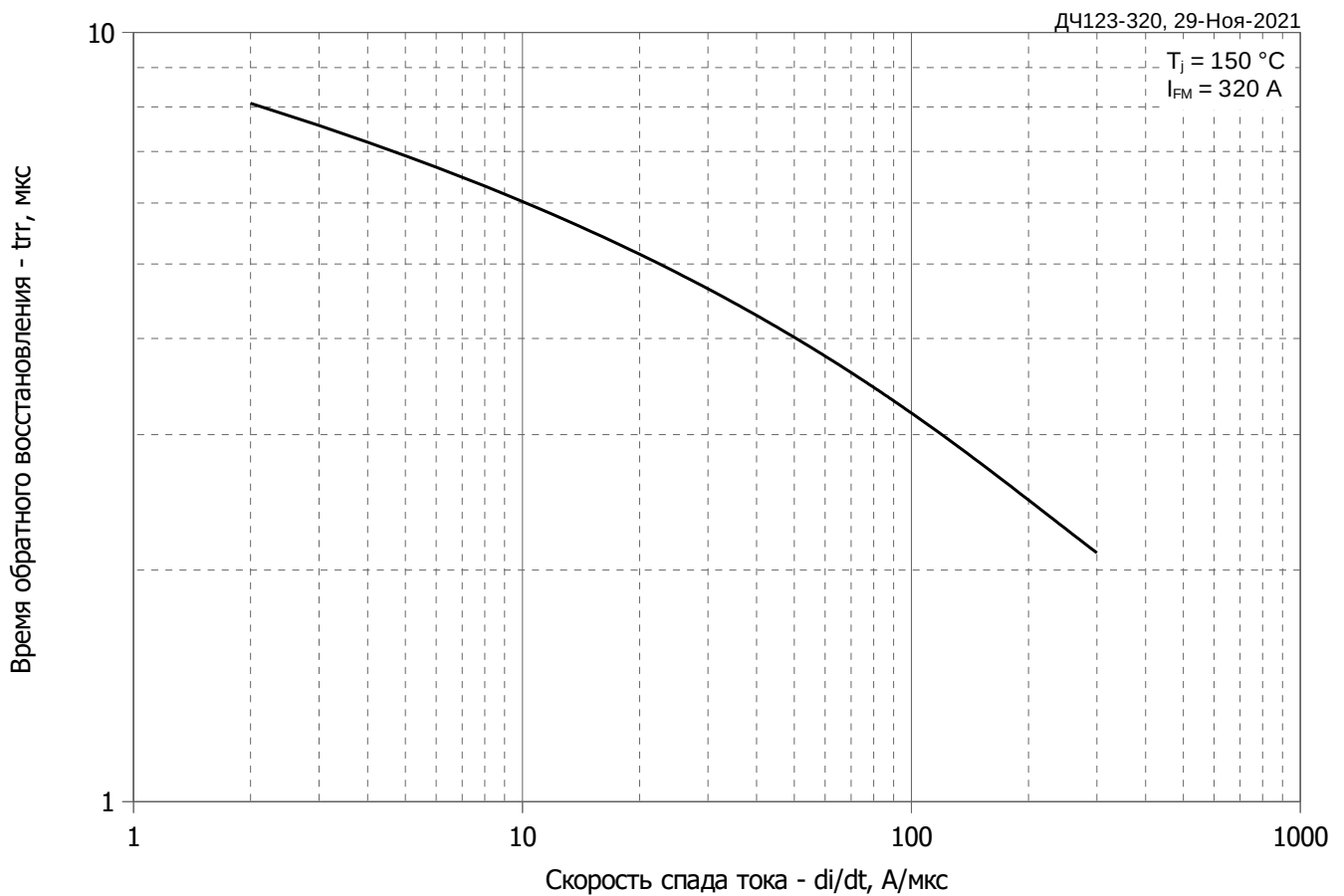


Рис. 6 – Зависимость максимального времени обратного восстановления t_{rr} от скорости спада прямого тока di_R/dt (по ГОСТ 24461, хорда 50%)

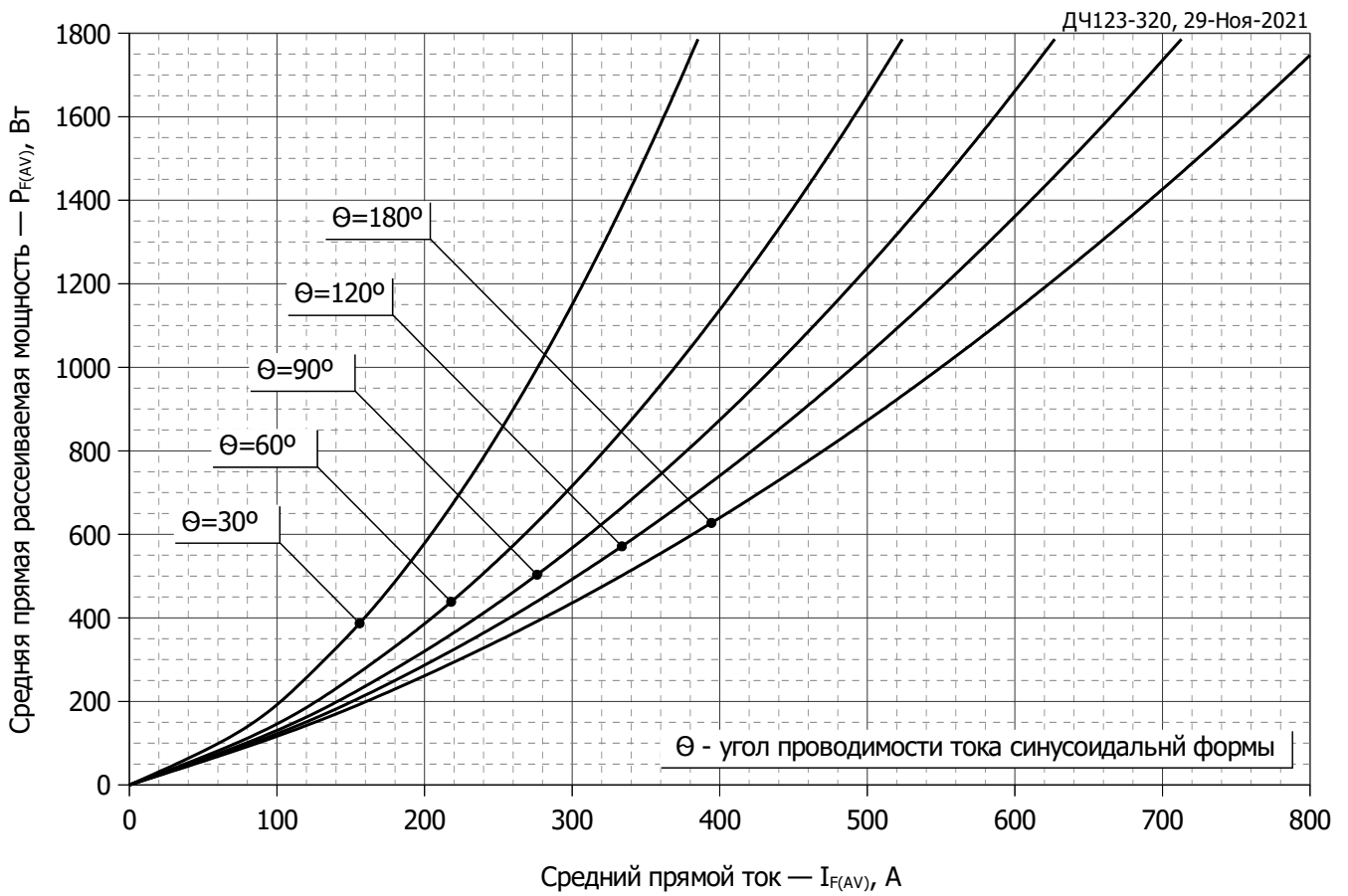


Рис. 7 - Зависимость потерь мощности P_{FAV} от среднего прямого тока I_{FAV} синусоидальной формы при различных углах проводимости ($f=50$ Гц, двухстороннее охлаждение)

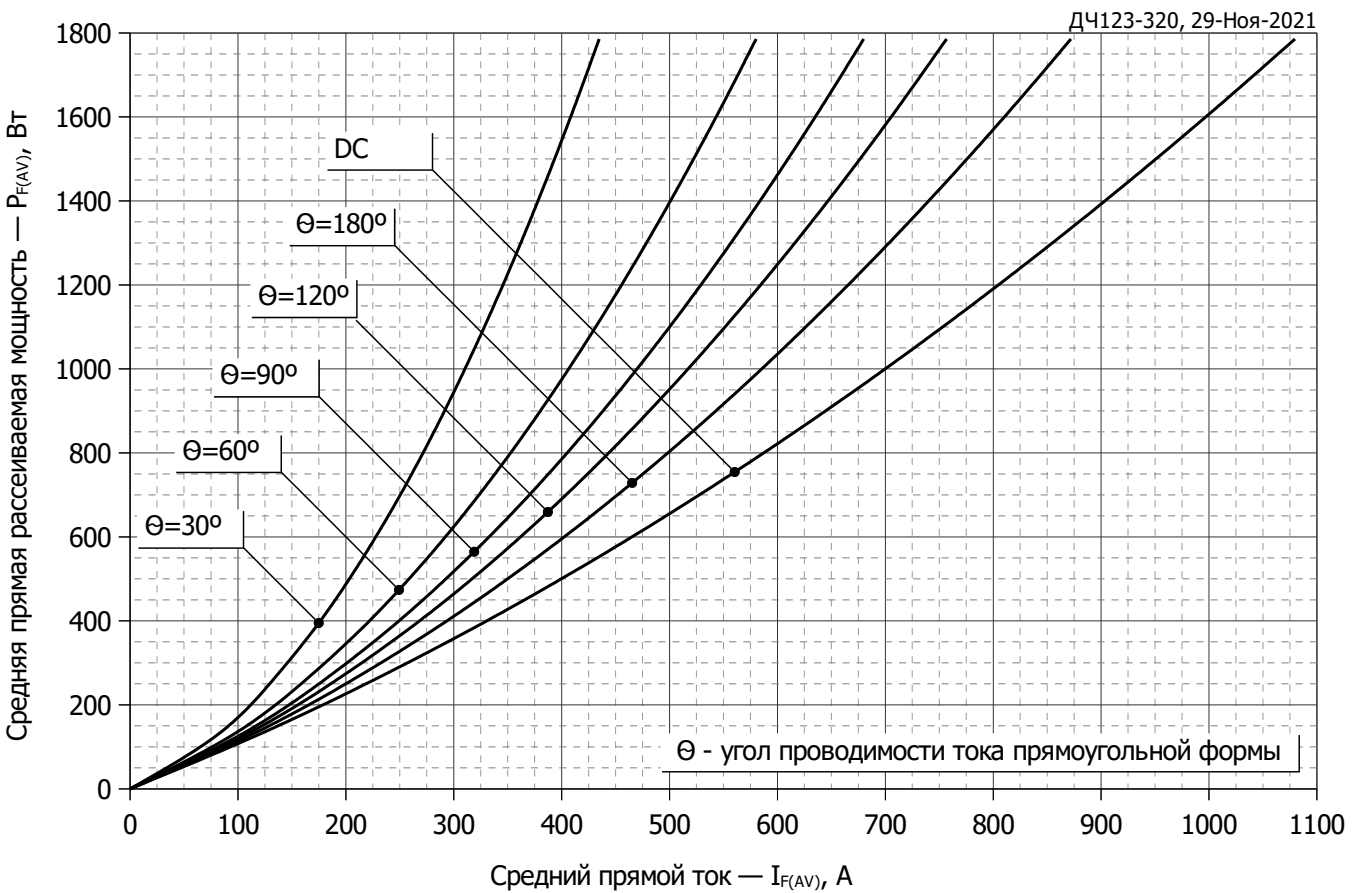


Рис. 8 – Зависимость потерь мощности P_{FAV} от среднего прямого тока I_{FAV} прямоугольной формы при различных углах проводимости ($f=50$ Гц, двухстороннее охлаждение)

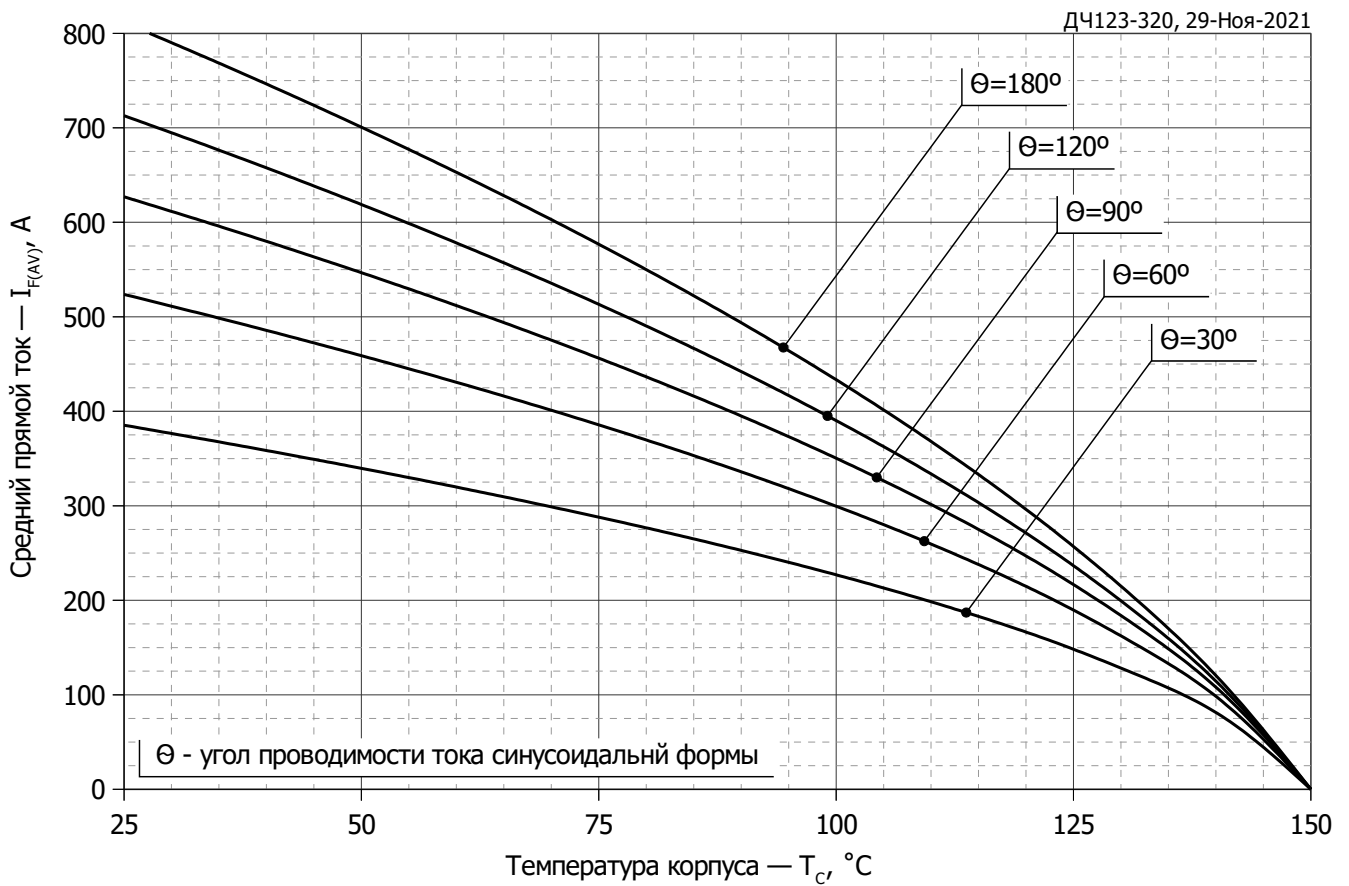


Рис. 9 – Зависимость среднего прямого тока I_{FAV} от температуры корпуса T_c для синусоидальной формы тока при различных углах проводимости ($f=50$ Гц, двухстороннее охлаждение)

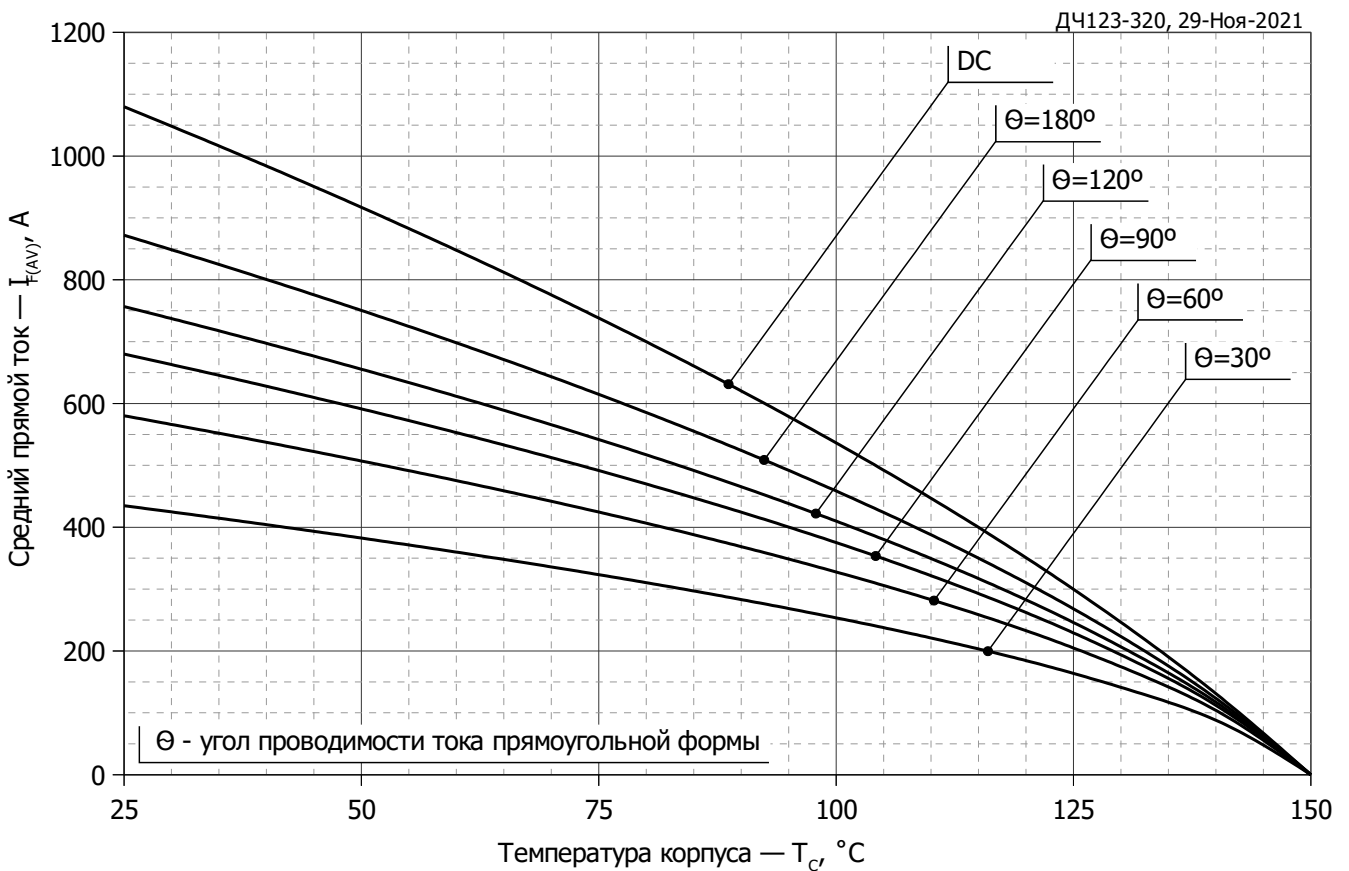


Рис. 10 - Зависимость среднего прямого тока I_{FAV} от температуры корпуса T_c для прямоугольной формы тока при различных углах проводимости ($f=50$ Гц, двухстороннее охлаждение)

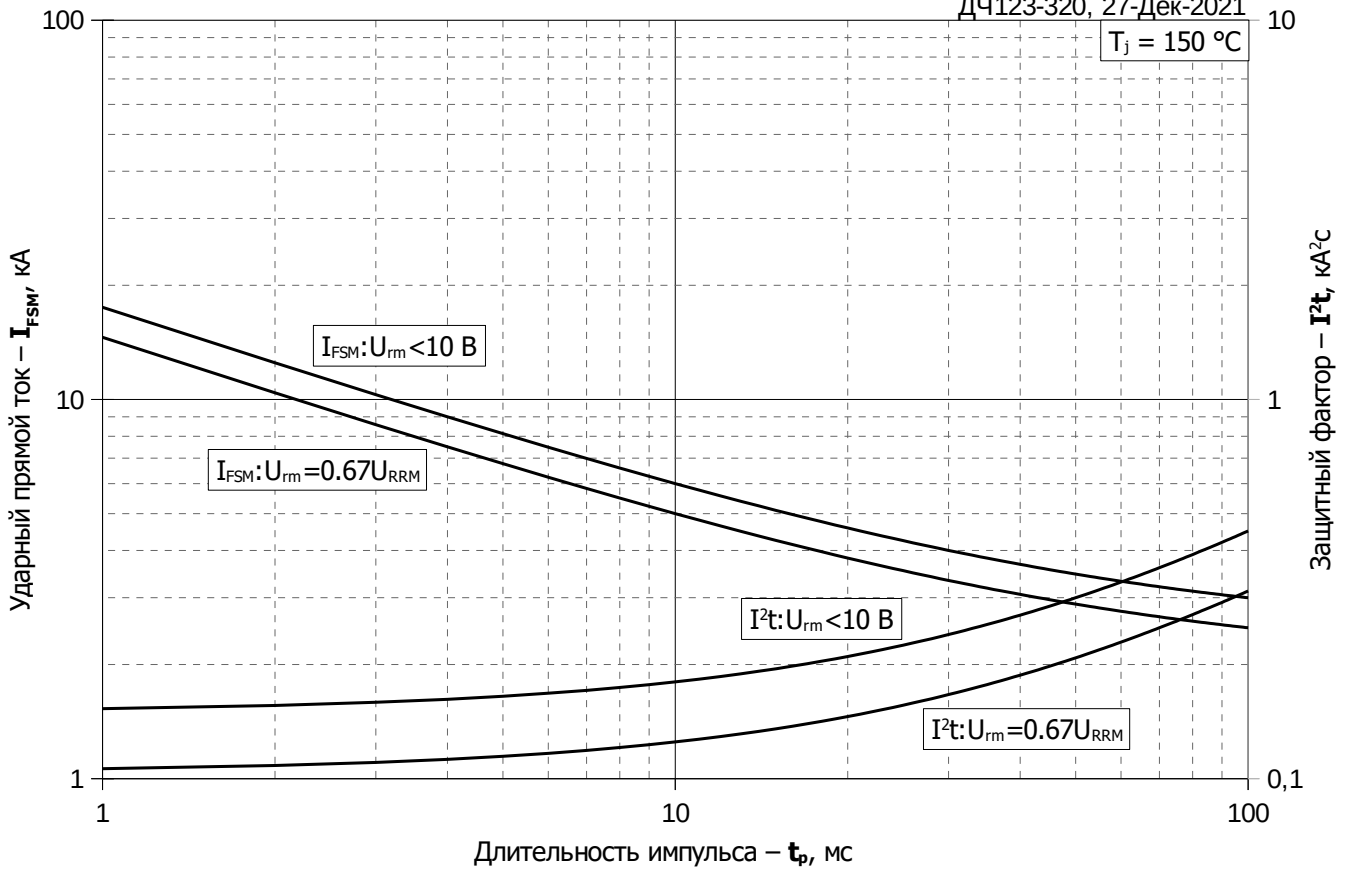


Рис. 11 – Зависимость максимальной амплитуды ударного прямого тока I_{FSM} и защитного фактора I^2t от длительности импульса t_p

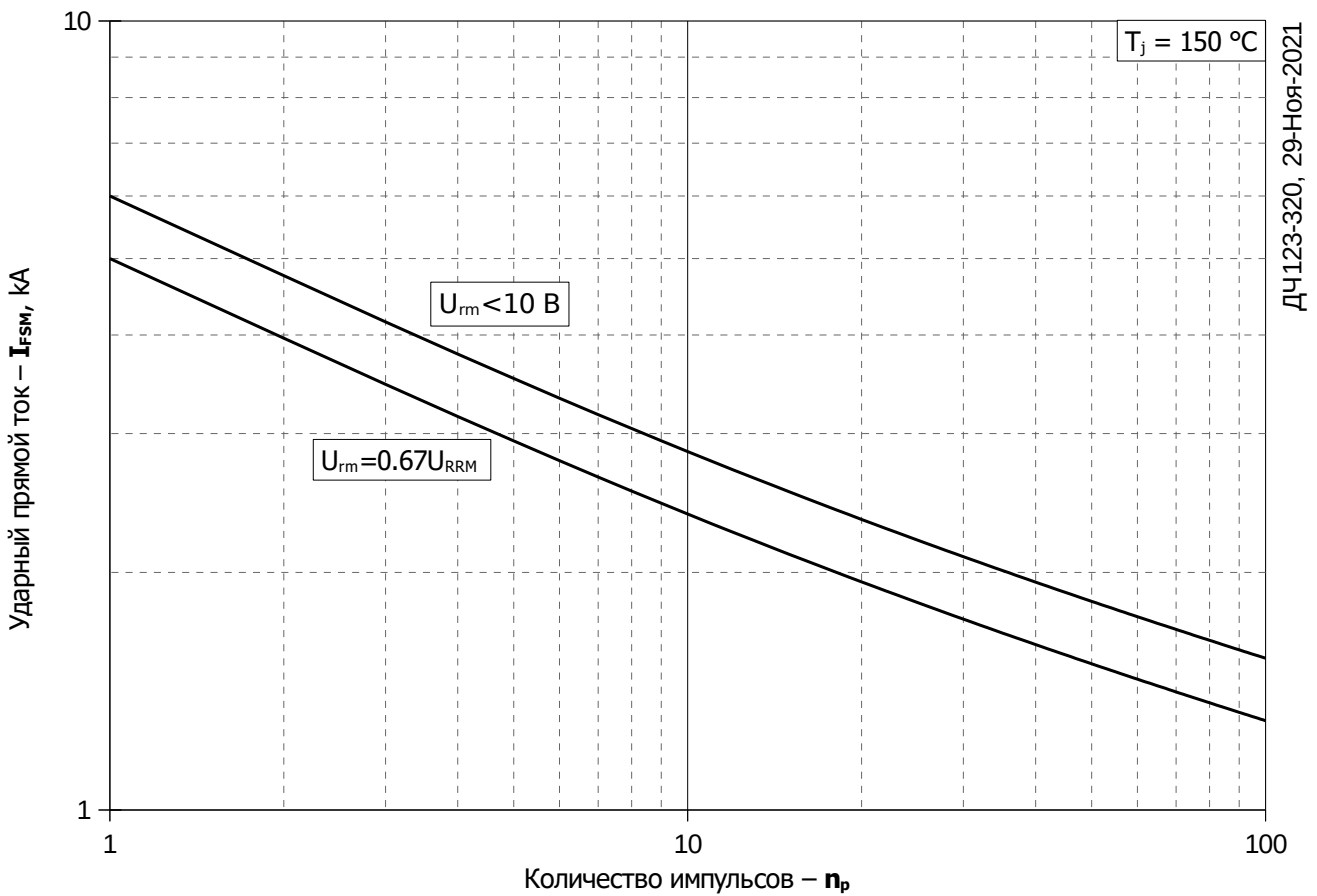


Рис. 12 – Зависимость максимальной амплитуды ударного прямого тока I_{FSM} от количества импульсов n_p